

はやぶさ2搭載中間赤外カメラによる科学観測 Thermal infrared (TIR) imager onboard Hayabusa-2

岡田 達明^{1*}, 田口 真², 福原 哲哉³, 中村 良介⁵, 今村 剛¹, 関口 朋彦⁶, 長谷川 直¹, 和田 武彦¹, 松永 恒雄⁷, 小川 佳子⁴, 荒井 武彦⁸

Tatsuaki Okada^{1*}, Makoto Taguchi², Tetsuya Fukuhara³, Ryosuke Nakamura⁵, Takeshi Imamura¹, Tomohiko Sekiguchi⁶, Sunao Hasegawa¹, Takehiko Wada¹, Tsuneo Matsunaga⁷, Yoshiko Ogawa⁴, Takehiko Arai⁸

¹宇宙航空研究開発機構, ²立教大学, ³北海道大学, ⁴会津大学, ⁵産業技術総合研究所, ⁶北海道教育大, ⁷国立環境研究所, ⁸国立天文台

¹ISAS/JAXA, ²Rikkyo University, ³Hokkaido University, ⁴University of Aizu, ⁵AIST, ⁶Hokkaido University of Education, ⁷NIES, ⁸NAOJ

「はやぶさ2」では、小惑星表面の物性調査を遠隔的に行うために中間赤外波長での熱赤外カメラ(TIR)を搭載する。本機器は金星大気探査機「あかつき」に搭載される非冷却ボロメータ型中間赤外カメラLIRを小惑星探査用に適用する。LIRの仕様がほぼ目的と合致していることに加え、「はやぶさ2」の開発スケジュールが極めて短いために実績のある機器を利用するのが現実的だからである。

小惑星表面の昼側の温度は太陽光照射によって暖められ、熱物性にもよるが太陽直下点では350K、周辺部でも250Kにまで上昇することから、波長10 μ m程度の熱輻射が常に発生する。中間赤外カメラは小惑星表面からの熱輻射を高い空間解像度で2次元撮像する世界初のカメラとなる。小惑星の自転に伴う各地域の温度の時間変化を調べることにより、各地域の温度環境や、表面物質の熱慣性を調べることができる。熱慣性は主に表面の物質の平均粒度や空隙率を反映するもので、砂状、礫状、岩塊状などの区別を行うことができる。中間赤外カメラによる撮像は温度(熱放射)の違いを捉えるものであるが、可視カメラと相補的である。特にC型小惑星は低反射率で全体に暗い表面をしており、可視光では表面地形の判別に必ずしも有利ではない(「はやぶさ2」は主に太陽高度の大きい位置からの観測になる)。小惑星表面の地形、物性、物質の特徴を可視多色カメラと同時に取得することにより、多くの知見を得ることが可能になる。

本機器は科学観測のみならず、「はやぶさ2」の目指す小惑星サンプルリターンのためのサンプル採取地点を選定するための表層状態の情報、およびタッチダウン運用のための表面温度分布を事前に知るために必須な観測機器である。

本発表では、中間赤外カメラによる科学目標、観測シーケンスの検討、および機器仕様の検討の状況について報告する。

キーワード: はやぶさ2, 小惑星, 熱物性, 中間赤外カメラ, リモートセンシング, 熱慣性

Keywords: Hayabusa2, asteroid, thermal property, mid-infrared imager, remote sensing, thermal inertia

PPS022-02

会場:国際会議室

時間:5月26日 16:45-17:00

はやぶさ2搭載レーザ高度計の科学 Scientific targets of the LIDAR onboard Hayabusa2

平田 成^{1*}

Naru Hirata^{1*}

¹ 会津大学

¹ Univ. of Aizu

小惑星探査機はやぶさ2に搭載されるレーザ高度計(LIDAR)の科学目標について議論する。LIDARはカメラなどと連携し、探査機の航法誘導を行うバス機器であるが、科学的観測にも用いられる。LIDARの科学的目標は以下の通りである。1) 探査機の小惑星に対する相対位置を正確に決定し、他の機器のデータ解析のための基盤を提供する。2) 探査機の自由落下中の位置履歴などを記録することで、小惑星の重力場計測を行い小惑星の質量を決定する。これと形状モデルから求めた小惑星の体積とあわせて小惑星の密度と空隙率を推定し、内部構造の手がかりを得る。3) 小惑星表面からの反射光の強度を測定することで、1 μ mにおける小惑星のアルベドを推定する。

キーワード: 小惑星, LIDAR, はやぶさ2, 重力場, 密度, 内部構造

Keywords: asteroid, LIDAR, Hayabusa 2, gravity field, density, internal structure

「はやぶさ2」での小型ローバ・ランダによる表面科学観測 Surface science with small landing robots in Hayabusa-2

岡田 達明^{1*}, 出村 裕英², 平田 成², 久保田 孝¹, 吉光 徹雄¹, ランダ・ローバ サブチーム¹
Tatsuaki Okada^{1*}, Hirohide Demura², Naru Hirata², Takashi Kubota¹, Tetsuo Yoshimitsu¹, Lander-Rover Subteam¹

¹ 宇宙航空研究開発機構, ² 会津大学

¹JAXA, ²University of Aizu

「はやぶさ2」はC型小惑星 1999JU3 からのサンプルリターンを行う探査機であるが、貴重なサンプルといえども小惑星表面上の数点の情報にすぎない。そのため現地における小惑星観測による小惑星のグローバルな特徴の観測、小惑星表面の詳細な観察はサンプルリターンと相補的で重要なサイエンス目的である。遠隔探査による小惑星の地形、地質構造、構成鉱物、表層粒度や物理状態から内部構造を調べることは必須である。また、サンプル採取地点の高解像度な観測データはサンプルの出自を明確にする必要情報である。

一方で、表層の構成粒子のサイズや空隙率、硬さ、化学組成、鉱物組成などについて、小惑星表面で観察することは非常に有意義である。遠隔探査、サンプルとをつなぐスケールでの物質や表層環境の情報を取得し、両者の関係をつなぐシナジー効果が期待できる。

このため、現在は MINERVA-II と MASCOT という2種類の小型着陸探査ロボットを小惑星表面に降ろし、観測を行う予定である。これらについて紹介し、できる科学探査項目を提示する。

MINERVA-II は、「はやぶさ」に搭載された MINERVA の姉妹機であるホッピング探査機であり、大学等のコミュニティとコンソーシウムにより開発する。2台の立体カメラ、1台の望遠カメラを搭載する。温度センサがウニの針状に突き出しており、小惑星の表面に接触して温度を計測する。加速度計により、表面でのバウンド時に表層の硬度を計測する。そのほか、紫外 LED 照射による蛍光発光による有機物の調査も検討している。

MASCOT は、ドイツ DLR を中心に検討を進めている国際協力による小型ローバで、母船上の分離機構を含めて合計 10 以下である。うち観測機器は 3 未満である。ひとつは、12 点式マルチバンドまたは多色 LED 照射による多波長で周辺観察し、地形や地質構造を把握するカメラ WAC である。2 番目は、可視・近赤外の分光マクロカメラ MicrOmega であり、表層の微細な構造や鉱物組成に関する情報を得る。3 番目はレーザー誘起破壊分光装置 LIBS であり、表層の岩石を構成する主要な元素、水・有機物に関係する揮発性の高い元素を調べる。4 番目として、磁力計が候補になっており、太陽風通過時の磁場変動により小惑星内部の平均誘電率や電気伝導率、すなわち空隙率や金属相の存在度を調べる。そのほか、温度センサ、加速度センサ、傾斜計などがあり、小惑星表層の温度、表面硬さ、地形の傾斜などを調査する。

キーワード: はやぶさ2, 小惑星探査, 表面探査, 顕微撮像, 元素分析

Keywords: Hayabusa2, Asteroid Exploration, surface experiment, microscopy, elemental analysis

Japan Geoscience Union Meeting 2011

(May 22-27 2011 at Makuhari, Chiba, Japan)

©2011. Japan Geoscience Union. All Rights Reserved.



PPS022-04

会場:国際会議室

時間:5月26日 17:15-17:30

はやぶさ2搭載衝突装置の科学目的 Scientific Objectives of the Impactor on board Hayabusa 2

高木 靖彦^{1*}, 矢野 創², 岡本 千里², 佐伯 孝尚², 赤星 保浩³, はやぶさ2プロジェクトチーム²
Yasuhiko Takagi^{1*}, Hajime Yano², Chisato Okamoto², Takanao Saiki², Yasuhiro Akahoshi³, Hayabusa 2 Project Team²

¹ 愛知東邦大学, ² 宇宙航空研究開発機構, ³ 九州工業大学
¹Aichi Toho University, ²JAXA, ³Kyushu Institute of Technology

探査機「はやぶさ」に続く小惑星探査機「はやぶさ2」は、表面物質サンプリング装置、遠隔観測装置に加えて、衝突装置を搭載する。この小型搭載衝突装置では、質量約2kgの金属塊を秒速2km/secで小惑星表面へ衝突させることが可能になる予定である。この衝突で小惑星1999JU3上でどのような現象が起こると予測されるのか、それをどのように観測して、どのような科学的知見を得ようとしているのかをまとめる。

キーワード: 小天体探査, 衝突現象, 始原物質

Keywords: small body exploration, impact phenomena, primitive material

PPS022-05

会場:国際会議室

時間:5月26日 17:30-17:45

はやぶさ2のサンプル回収模擬実験

Laboratory experiments simulating for sample recovery in the Hayabusa-2 mission.

池崎 克俊^{1*}, 矢野 創², 岡本 千里², 橋 省吾³, 今栄 直也⁴, 土山 明¹, 長谷川 直², 中村 昭子⁵, 富山 隆将⁶
Katsutoshi Ikezaki^{1*}, Hajime Yano², Chisato Okamoto², Shogo Tachibana³, Naoya Imae⁴, Akira Tsuchiyama¹, Sunao Hasegawa²,
Akiko Nakamura⁵, Takayuki Tomiyama⁶

¹ 大阪大学大学院理学研究科宇宙地球科学専攻, ² 宇宙航空研究開発機構・宇宙科学研究本部, ³ 東京大学大学院理学研究科地球惑星科学専攻, ⁴ 情報・システム研究機構 国立極地研究所, ⁵ 神戸大学大学院理学研究科地球惑星科学専攻, ⁶ 独立行政法人海洋研究開発機構

¹Earth and Space Sci., Osaka Univ., ²JAXA/ISAS & JSPEC, ³Earth and Planet. Sci., Univ. of Tokyo., ⁴AMRC, NIPR, ⁵Grad. Sch. of Sci., Kobe Univ., ⁶JAMSTEC

はやぶさ2計画として、C型小惑星「162173 1999JU3」へのサンプルリターンミッションが計画されている。はやぶさ計画と同様の弾丸式サンプラーの搭載が予定されている。サンプルの収量を増加させることを目的として、目標小惑星の表面物質に対応すると考えられる炭素質コンドライトの模擬物質を作成し、弾丸の打ち込み実験を行った。本稿では、ターゲットの違いによるサンプル収量の変化について述べる。

模擬炭素質コンドライト(以下模擬物質と示す)の作成には、ガラスビーズを用いた。コンドライトを構成するコンドリユールとマトリクスに対応するように、それぞれのサイズに近い250-355 μm と20 μm 以下のガラスビーズを用いた。また、炭素質コンドライト隕石の強度を参考に圧裂引っ張り強度が0.数MPa~数MPaになるようにした(Tuchiyama et al., 2009)。2種のガラスビーズの混合物質(混合比は20%あるいは50%)を焼結させ、焼結温度と時間をコントロールすることにより所定の強度をもつ模擬物質を作成した。

実験ははやぶさ2と同様に火薬銃を用いて行った。プロジェクティルはタンタル(10 mm, 4.6 g)を使用し、形状は半球、約200 m/sでターゲットに衝突させた。ターゲットは模擬物質だけでなく、比較のため耐火レンガやガラスビーズも用いた。

ターゲットの違いにより、破片質量分布、破片速度、クレータの直径や深さなどに差異がみられた。これらの結果について述べる。

キーワード: はやぶさ2, サンプリング, 衝突

Keywords: Hayabusa-2, sampling, impact

小惑星 6 Hebe、433 Eros、および 25143 Itokawa の宇宙風化度および組成の推定 Estimating the composition and the degree of space weathering of asteroids 6 Hebe, 433 Eros, and 25143 Itokawa

二村 徳宏^{1*}, 安部 正真¹, 廣井 孝弘², ピーターズ カーリ²
Tokuhiro Nimura^{1*}, Masanao Abe¹, Takahiro Hiroi², Carle M. Pieters²

¹ 宇宙航空研究開発機構宇宙科学研究本部, ² 米ブラウン大

¹ ISAS/JAXA, ² Brown University

固体惑星表面の鉱物学的特長を遠隔探査によって解明するために有用な方法の1つが可視・近赤外反射分光である。しかしながら、その解析には以下の2つの問題が存在する。

(1) 小惑星のように大気のない天体表面上では、宇宙風化という現象が存在する。これは太陽風や微小隕石衝突を含む宇宙空間の厳しい環境による変化である。宇宙風化によって、反射スペクトルは赤化、暗化、吸収帯弱化が生じる [Pieters et al., 1993] ため、固体惑星表面の反射分光解析が困難である。

(2) 可視・近赤外反射分光データは多種の鉱物に起因する複数の幅広い吸収帯が接近して複合吸収帯を形成しているため、反射分光データ解析において各鉱物の吸収帯分離抽出が困難である。

本研究では、上記2点の問題解決を行った。

はじめに、宇宙風化作用により生成されるナノ還元鉄 (npFe⁰) 粒子を含んだ蒸着層を持つレゴリス粒子の光散乱特性を、Hapke [2001] に倣いモデル化した。具体的には、吸収係数への効果以外に境界反射率変化も考慮しモデル化することで、問題(1)を解決した。本モデルを用いることで、従来から難題とされてきた、月のレゴリスのような宇宙風化度が大きい反射スペクトルにおいても、宇宙風化層の厚さと宇宙風化層中の npFe⁰ の体積濃度を見積もることを可能にした。

次に、珪酸塩の吸収係数について考察した。珪酸塩鉱物の複雑な吸収スペクトルを個別の吸収帯に分離する1つの方法として、修正ガウス関数モデル (MGM) [Sunshine et al., 1990] が一般的に使用されている。本研究では、主要造岩鉱物であるカンラン石、低 Ca 輝石、および高 Ca 輝石の化学組成 (Fe、Mg、Ca 量) と吸収帯パラメータ (吸収帯の中心波長、幅、強度比) の関係を求めた。また、同じく主要造岩鉱物である斜長石の吸収帯の中心波長、幅、強度比も求めた。そして、この関係を MGM 計算に組み込むことにより、問題(2)を解決した。

以上2つのモデルおよび鉱物混合モデルを用いて、大気のない固体天体の可視・近赤外反射スペクトルから、天体表面物質の鉱物組み合わせ、構成鉱物の化学組成、鉱物の粒子サイズ、宇宙風化度を推定できる統一モデルを構築した。

そして、本研究で構築した統一モデルを3つの小惑星 (6 Hebe、433 Eros および 25143 Itokawa) の可視・近赤外反射分光データに応用し、解析で推定されたそれらの表面組成が隕石中に豊富な H コンドライト (6 Hebe) および LL コンドライト (433 Eros、25143 Itokawa) に対応することを示した。その事実は、他の既存の手法によっても明らかにされていたが、本研究では、それら小惑星の表面物質の Mg 値、カンラン石・低 Ca 輝石・高 Ca 輝石・斜長石という4つの鉱物混合比、粒子サイズ、宇宙風化度について、可視・近赤外反射スペクトルを解析することのみで決定した。さらに各小惑星のレゴリスについて、宇宙風化作用によってできた蒸着層の厚さおよびその層内の npFe⁰ の体積濃度を個別に決定した。その結果、3つの小惑星の間で蒸着層の厚さと npFe⁰ の体積濃度に違いがあるということ新たに発見した。前者は、重力が小さく細粒のレゴリスを長く保持できず、表面が岩石や粗粒のレゴリスからなる天体において、その表面が細粒なレゴリスを保持している天体より長く宇宙風化にさらされていると考えることで説明できる。これは重力の大きな天体において、内部の新鮮な物質が掘り返され表面が刷新されていることを示唆している。後者は天体表面での金属鉄の存在度の違いによって説明できる。この発見は、H コンドライトが LL コンドライトよりも金属鉄に富んでいるという事実と整合的である。また同じ LL コンドライト的組成を持つにもかかわらず、433 Eros は 25143 Itokawa よりも高い npFe⁰ の体積濃度を示しており、25143 Itokawa よりもサイズが大きな 433 Eros 上では LL コンドライト鉱物組み合わせ中の金属鉄を珪酸塩から分離する何らかのメカニズムがある可能性を示唆している。例えば、433 Eros に十分な細かさのレゴリスがあって、振動により金属鉄がレゴリス表面に濃集することが考えられる。NEAR 探査機が発見した Pond はそのようなメカニズムによって形成されたかもしれない。

キーワード: スペクトル, 宇宙風化作用, 小惑星, 修正ガウス関数モデル

Keywords: spectroscopy, space weathering, asteroid, modified Gaussian model

Japan Geoscience Union Meeting 2011

(May 22-27 2011 at Makuhari, Chiba, Japan)

©2011. Japan Geoscience Union. All Rights Reserved.



PPS022-07

会場:国際会議室

時間:5月26日 18:00-18:15

太陽系小天体の表面プロセス：小惑星の内部構造と、その探査に向けて Surface processes on small bodies: Implications to the internal structures of asteroids and their explorations

宮本 英昭^{1*}, 西堀俊幸², 真鍋武嗣³, 渡邊宏弥¹, 平田直之¹, 北野遼³, 春山純一²

Hideaki Miyamoto^{1*}, Toshiyuki Nishibori², Takeshi Manabe³, Hiromi Watanabe¹, Naoyuki Hirata¹, Ryo Kitano³, Junichi Haruyama²

¹ 東京大学総合研究博物館, ² 宇宙科学研究所, ³ 大阪府立大学

¹ University Museum, University of Tokyo, ² ISAS, ³ Osaka prefecture university

Recent missions reveal that significant varieties exist in the shapes and surface states of small bodies in the solar system. These are partly results of surface processes including cratering, reaccumulations of ejecta, migrations of gravels, and space weathering. Recently, we find an impact crater on the unusually smooth-looking surface of a small saturnian satellite, Atlas, whose enigmatic shape is explained by accumulations of particles from the A-ring of Saturn. This finding as well as geologic and electro-static analyses indicate that the surface of Atlas is covered by fine particles, which electro-statically levitate, migrate, and deposit to erase surface features, including craters. Such process is likely active on other small satellites of Saturn if they are 1) in the region outside the orbit of Titan, and 2) in the region that lies within A-, B-, and C-rings, including the orbits of Atlas and Pan. Also, this process might be important even for near-earth asteroids, especially if large amount of fine particles are supplied on their surfaces.

We consider this process is another example that the surface states of small bodies can be more active than relatively larger bodies, such as the Moon. In this talk, we will review the surface processes on the surface of small bodies and discuss their implications to the internal structures of asteroids. We also present the current status of our development of a Ground Penetrating Radar for future asteroid mission, which is probably the most effective way to explore the near-surface structures of asteroids.

キーワード: 小惑星, はやぶさ 2, 衛星, 表面プロセス

Keywords: asteroid, Hayabusa, satellite, surface processes

PPS022-08

会場:国際会議室

時間:5月26日 18:15-18:30

はやぶさカプセル・パラシュートの地球観測衛星による搜索 Search for Hayabusa Re-entry Capsule and Parachute after Landing by the Formosat-2 Remote Sensing Instrument

中村 良介^{1*}, 亀井秋秀¹, 中村和樹¹, 松岡 昌志¹, 山本浩万¹, 矢野 創²

Ryosuke Nakamura^{1*}, Akihide Kamei¹, Kazuki Nakamura¹, Masashi Matsuoka¹, Yamamoto Hirokazu¹, Hajime Yano²

¹ 産業技術総合研究所, ² 宇宙航空研究開発機構

¹ AIST, ² ISAS/JAXA

小惑星探査機はやぶさから放出されたカプセルは、2010年6月13日11時半すぎ(現地時間)にオーストラリアウーメラ砂漠に着地し、ビーコン電波を用いた方探およびヘリコプターからの観測によって、即座に発見された。はやぶさの後継機においても、カプセルはウーメラ砂漠に帰還することが想定されている。カプセルからのビーコンが出ないような緊急事態においては、数十kmにもおよぶ範囲を一度に撮像できる宇宙からの地表観測は、カプセル搜索の効率的な手段となりうる。

そこで我々は、宇宙から地球を観測する衛星によって取得された画像上での、このカプセルとパラシュートの同定を試みた。衛星/センサーとしては、ウーメラ砂漠を毎日観測可能な台湾の衛星 Formosat-2 に搭載された RSI を用い、帰還当日の13日午前と翌14日午前取得した画像の変化抽出解析を行った。パンクロマティック画像の分解能は2.5m/pixelであり、原理的にはパラシュートは分解できているはずだが、明確な差分は抽出できなかった。この結果に基づいて、はやぶさ2のカプセル検出を行うために必要な地球観測センサの性能(空間分解能、輝度分解能)および運用について議論する。

キーワード: はやぶさ, リモートセンシング, 変化検知, 小惑星

Keywords: hayabusa, remote sensing, change detection, asteroid

小天体衝突における高速エジェクタの放出速度と角度 Ejection Velocity and Angle of the Fast Ejecta from Impact of Small Bodies

高部 彩奈¹, 中村 昭子^{1*}, 桂 武邦¹, 高沢 晋¹, 瀬藤 真人¹, 長谷川 直²

Ayana Takabe¹, Akiko Nakamura^{1*}, Takekuni Katura¹, Susumu Takasawa¹, Masato Setoh¹, Sunao Hasegawa²

¹神戸大学, ²宇宙航空研究開発機構宇宙科学研究所

¹Kobe University, ²ISAS/JAXA

固体どうしの衝突によって発生したエジェクタの放出に関して、点源近似が成り立つような衝突点から離れた場所からのエジェクタ放出位置と放出速度や、エジェクタ総質量と放出速度の関係を調べた実験データはいくつかあり、それらをもとにしたスケーリング則も提案されている。しかし、衝突点近傍からの高速エジェクタの放出速度や放出角度と衝突速度や衝突体の物理特性の関係については、よくわかっていない。

われわれは宇宙科学研究所にある二段式軽ガス銃を使用して衝突実験を行った。ターゲットには岩石、気化しやすいナイロンを用いた。プロジェクトイルにはポリカーボネートの先端に鉄または鉄隕石をつけたもの、気化しやすく密度の小さいナイロン球、鉄隕石、岩石質天体を模擬したガラス球などを使用した。高速度ビデオカメラを用いて衝突の瞬間を撮影し、その画像から高速エジェクタの速度とエジェクタの放出角度（ターゲット表面に垂直な方向からみた角度）を求めた。

その結果、初期発生圧力が増すと先端エジェクタ速度も大きくなることがわかった。また、プロジェクトイルが異なると先端エジェクタ速度も異なった。蛇紋岩とかんらん岩の先端エジェクタ速度に大きな差は見られなかった、すなわち、脱水の影響は確認されなかった。理論的に固体エジェクタ速度は最大で粒子速度の2倍であると考えられている。ナイロンをプロジェクトイルに用いた実験では明らかにエジェクタ速度がこの理論限界より大きくなるという結果が得られた。これはナイロンの気化による影響でエジェクタが加速した可能性があると考えられる。放出角度は、衝突初期発生圧力とともに減少する弾丸標的の組み合わせと、あまり変化しない場合とがあった。

キーワード: 小天体, 衝突, エジェクタ, 速度

Keywords: small bodies, impact, ejecta, velocity

PPS022-10

会場:国際会議室

時間:5月27日 08:45-09:00

微小重力下での低速度衝突におけるガラスビーズの反発係数測定

The measurements of restitution coefficient for glass beads at low collision velocity under microgravity.

町井 渚^{1*}, 中村昭子¹, パトリック ミッシェル²
Nagisa Machii^{1*}, Akiko M. Nakamura¹, Patrick Michel²

¹ 神戸大学大学院理学研究科, ² コートダジュール天文台
¹ Graduate School of Science, Kobe Univ., ² UNS/CNRS/OCA

太陽系の氷小天体にはポーラスな構造をもつものがある。この構造は衝突による破片の再集積によって形成した可能性がある。我々はこれまでガラスビーズ焼結体を用いた衝突実験を行い、ポーラスな小天体の静的強度および内部構造と突破壊強度の関係を調べた [1]。今後、数値シミュレーションでガラスビーズ焼結体の衝突過程を模擬するための基礎データとして、本研究では微小重力下でのガラスビーズの反発係数の測定を行なった。

実験は2010年11月12日にドイツ、ブレーメンにあるZARM Drop Towerで2回行なった。落下塔には高さ110mの落下管があり、管内を10 Pa以下まで真空引きできる。本実験ではサンプルチャンバーを垂直方向に投げ上げる方式を採用し、9.3秒間 10^{-5} から 10^{-6} g程度の微小重力下で行なった。サンプルチャンバー内にサンプルホルダーとハイスピードカメラを設置した。サンプルホルダーには直径4.7 mmのソーダライムガラスビーズを32個充填し、微小重力下での粒子の衝突をビームスプリッターを通してハイスピードカメラで撮影した。撮影速度は500 frames/s、シャッター速度は1/5000 sである。

得られた2方向からの画像を解析し、3次元座標データからそれぞれの粒子の衝突速度を求め、反発係数を求めた。

[1] Machii, N. and Nakamura, A.M., 2011. Icarus 211, 885-893.

脆性体の破片形状分布とモデル計算

A numerical model for the shape distribution of fragments in brittle targets

道上 達広^{1*}, 城野 信一²

Tatsuhiko Michikami^{1*}, Sin-iti Sirono²

¹ 国立 福島工業高等専門学校, ² 名古屋大学

¹Fukushima National College of Technology, ²Nagoya University

室内実験において、衝突破壊における破片の形状の分布は、特徴的かつ普遍的な分布になっていることが知られている。それは破片の長軸 a: 中間軸 b: 短軸 c の比が平均で 2: 2:1 になっていることである。この分布は、衝突速度、標的の形状など実験条件に依らず成り立っている (Fujiwara et al., 1977; Capaccioni et al., 1984)。また最近の研究で、この法則は大きさ 200m 以下の高速度回転 (自転速度 1 時間以内) の小惑星の形状、小惑星エロスの岩塊 (一部) の形状でも成り立っており、小惑星イトカワの岩塊でも成り立っていることが示唆されている (Michikami et al., 2010)。しかしながら過去の研究において、なぜこのような普遍的な形状分布になっているか、定性的な解釈もできてない。例えば、Capaccioni et al. (1984) は、立方体をランダムに切り、各破片の幾何学的形状を調べたが、衝突破片に見られるような形状比にはならなかった。本研究では、破壊の統計物理モデルで有名な Grady and Kipp (1980) のモデルのクラック成長の仕方を改良し、数値計算を行うことで、衝突破壊における破片の形状分布を再現した。その結果、形状分布はクラックの成長速度、欠陥の数、標的の形状には依存せず、欠陥の配置に大きく依存することが分かった。

キーワード: 脆性体, 破片形状, 衝突破壊

Keywords: brittle target, shape of fragments, impact

PPS022-12

会場:国際会議室

時間:5月27日 09:15-09:30

高空隙率焼結体への衝突による潜り込み深さとその形状 Impact Experiments on High Porosity Sintered Targets: Penetration Depth and Track Morphology

岡本 尚也^{1*}, 中村 昭子¹, 長谷川 直², 池崎 克俊³, 土山 明³

takaya okamoto^{1*}, Akiko M. Nakamura¹, Sunao Hasegawa², Katsutoshi Ikezaki³, Akira TSUCHIYAMA³

¹ 神戸大学大学院自然科学研究科, ² 宇宙科学研究所, ³ 大阪大学大学院理学研究科

¹ Graduate School of Kobe University, ² ISAS/JAXA, ³ Graduate School of Osaka University

微惑星や彗星などの太陽系始原天体は高い空隙率を持つと考えられている。そのような高空隙率を持つ天体に衝突が起こったとき、密度の異なる小天体や塵が衝突したときの潜り込み過程や破壊・圧密過程は、衝突速度とともに、天体の空隙率、強度、ミクロな構造によると考えられる。

我々は高空隙率を持つターゲットを作成するために、試料にソーダ石灰硼珪酸ガラスを組成とする中空ガラスビーズ(粒径 55 μm)を用いた。これを焼結させておよそ 95% の高い空隙率を持つ円柱形のターゲット(密度 $\sim 0.14\text{ g/cm}^3$)を作成した。最終潜り込み深さと形状のデータを得るために長さの長いもの($\sim 130\text{mm}$)から、ターゲットを減速されながら通過して抜け出した弾丸速度のデータを得るための長さの短いもの(e.g. $\sim 25\text{mm}$, $\sim 45\text{mm}$)を用意した。このターゲットを用いて、弾丸の減速過程を調べるため、まず神戸大学の小型軽ガス銃を使い低速実験(衝突速度 $\sim 250\text{ m/s}$)を行って、高速度カメラから画像解析を行い、低速下での抵抗係数を求めた(岡本他、秋期講演会 2010)。そして今回、宇宙科学研究所にある二段式軽ガス銃を使い高速衝突実験(衝突速度 $\sim 2.5\text{ km/s}$, $\sim 4.0\text{ km/s}$, $\sim 7.0\text{ km/s}$)を行った。弾丸にはサイズの異なるガラス球、チタン球を用いている。

解析には、大阪大学にある CT 装置を用いて弾丸が貫入して作った衝突のトラック形状を調べ、潜り込み深さを測定した。この潜り込み深さと、高速度カメラでとらえたターゲットを抜け出る弾丸の速度の両方の実験結果から弾丸の減速過程を表すモデルを議論する。

キーワード: 空隙率, 焼結, 衝突実験

Keywords: porosity, sinter, impact experiment

イカロス搭載大面積薄膜ダスト検出アレイによる内惑星領域のダスト分布計測 Micrometeoroid Flux inside 1 AU Heliocentric Distance Measured by IKAROS-ALADDIN

矢野 創^{1*}, 平井 隆之², 岡本 千里¹, 尾川 順子¹, 田中真³, IKAROS-ALADDIN チーム¹

Hajime Yano^{1*}, Takayuki Hirai², Chisato Okamoto¹, Naoko Ogawa¹, Makoto TANAKA³, IKAROS-ALADDIN Team¹

¹JAXA 宇宙科学研究所/月惑星探査 P G, ²総合研究大学院大学, ³東海大学

¹JAXA/ISAS & JSPEC, ²Graduate University for Advanced Studies, ³Tokai University

IKAROS(Interplanetary Kite-craft Accelerated by the Radiation Of the Sun), a 20-m-across solar sail demonstration spacecraft was launched by H-IIA rocket in May 2010. As the world's first solar sail in deep space, IKAROS carries ALADDIN (Arrayed Large-Area Dust Detectors for INterplanetary space) dust detector made of 0.54 m² PVDF sensors which deploy on its 7.5 micron polyimide sail membrane. As the first deep space dust detectors developed and built in Japan, ALADDIN continuously measures dust flux in the vicinity of the Earth to that of Venus within its first 6-month cruising and now in its extended mission period. On its thin sail membrane, a large-area but still light-weight dust detector arrays made of 8 channels of 9-20 micron-thick PVDF were attached in order to count and time hypervelocity impacts by micrometeoroids larger than a few micron size during its interplanetary cruise. The sensors filter electronic, thermal and vibration noises and record time, peak hold value, and relax duration of signals of micrometeoroid impacts. Inside the orbit of the Earth (~1.0 AU) down to the vicinity of Venus (~0.7 AU), ALADDIN has measured abundant dust flux each of which separated by a 24-hour bin, thus enabling to discuss heliocentric dependency of the flux variation around >10⁻¹² g mass range in the finest detail among any previous spacecraft such as Helios-1/2 and Galileo. The ALADDIN dust flux in 2010 is generally consistent with flux trends of Helios in 1980's and Galileo in 1990's but some fine structures are observed.

キーワード: 宇宙塵, その場計測, ソーラーセイル, 内惑星領域, 衝突フラックス

Keywords: Micrometeoroids, In-situ Measurement, Solar Sail, Inner Region of the Solar System, Impact Flux

First results from the 2009-2010 MU radar head echo observation programme for sporadic and shower meteors: the Orionids First results from the 2009-2010 MU radar head echo observation programme for sporadic and shower meteors: the Orionids

Csilla Szasz^{1*}, Johan Kero¹, Takuji Nakamura¹, David D. Meisel², Toshio Terasawa³, Hideaki Miyamoto⁴, Yasunori Fujiwara⁵, Masayoshi Ueda⁵, Koji Nishimura¹

Csilla Szasz^{1*}, Johan Kero¹, Takuji Nakamura¹, David D. Meisel², Toshio Terasawa³, Hideaki Miyamoto⁴, Yasunori Fujiwara⁵, Masayoshi Ueda⁵, Koji Nishimura¹

¹National Institute of Polar Research, ²SUNY Geneseo, Geneseo, NY, USA, ³University of Tokyo, Chiba, ⁴University of Tokyo, Tokyo, ⁵Nippon Meteor Society

¹National Institute of Polar Research, ²SUNY Geneseo, Geneseo, NY, USA, ³University of Tokyo, Chiba, ⁴University of Tokyo, Tokyo, ⁵Nippon Meteor Society

The aim of this presentation is to demonstrate the capabilities of a new automated analysis scheme developed for meteor head echo observations by the interferometric Shigaraki Middle and Upper atmosphere (MU) radar in Japan (34.85 degrees N, 136.10 degrees E). Meteors, or colloquially shooting stars, are caused by particles from space that are heated up and shattered in the atmosphere. Meteor head echoes are radio waves scattered from the intense regions of plasma surrounding and co-moving with meteoroids during atmospheric flight.

Our analysis procedure computes meteoroid range, velocity and deceleration as functions of time with unprecedented accuracy and precision. This is crucial for estimations of meteoroid mass and orbital parameters, as well as investigations into meteoroid-atmosphere interaction processes. We collected an extensive set of data (>500 h) between June 2009 and December 2010. The data set contains both shower and sporadic meteor detections. Sporadic meteors are those that cannot be directly ascribed to a parent body. Sporadics are the most numerous among our observed particles, and the main contributors to the mass influx into the Earth atmosphere.

Here, we present initial results from data taken 2009 October 19-21. More than 600 of about 10 000 head echoes recorded during 33 hours were associated with the 1P/Halley dust of the Orionid meteor shower. The Orionid activity within the MU radar beam reached about 50 per hour during radiant culmination. The rate of sporadic meteors in the MU radar data, coming primarily from the direction of the Earth's apex, peaked at about 700 per hour during the same observations.

Head echoes of shower meteors are quite rare in modern high-power large-aperture (HPLA) radar data, primarily because sporadics outnumber shower meteors in the low-mass regime observable with these radar systems. The small collecting area of an HPLA radar system further limits successful observation of shower meteors. Analysis performed on a limited data set may, therefore, contain no or only a few shower meteors due simply to low statistical probability. In this work, we have estimated the MU radar collection area, calculated the flux of Orionid meteors, and show that the Orionid meteoroid stream activity could be accurately tracked with the MU radar when the radiant is at least 10 degrees above the local horizon.

キーワード: meteor, meteoroid, HPLA radar, head echo

Keywords: meteor, meteoroid, HPLA radar, head echo

木星面発光現象と、その小天体研究上の意義 Jovian impact flashes and their implication to small bodies

渡部 潤一^{1*}, 田部一志², 杉田精司³, 柳澤正久⁴, 伊藤孝士¹

Jun-ichi Watanabe^{1*}, Isshi Tabe², Seiji Sugita³, Masahisa Yanagisawa⁴, Takashi Ito¹

¹ 国立天文台, ² リブラ (株), ³ 東京大学, ⁴ 電気通信大学

¹National Astronomical Observatory, ²Libra Co., ³University of Tokyo, ⁴The University of Electro-communications

2010年6月と8月に相次いで、アマチュア天文家によって木星面での発光現象が観測された。これらの現象は大きさが数m～数十mという小天体の衝突による流星現象による発光と考えられ、これまでの予想よりも頻発している可能性が高くなってきた。発光現象の頻度と規模を調査すれば、これまで不定性が大きかった巨大惑星領域での小天体について、そのサイズ分布をこれだけ小さなサイズにまで決めることができるという大きな可能性が開けてきた。系統的組織的な観測が実現できれば、巨大惑星を、いわば天然の小天体検出器として活用するユニークな試みとなる。

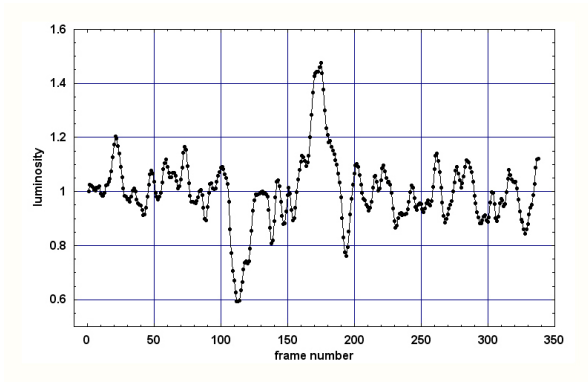
巨大惑星、特に木星への天体衝突は、しばしば起きる現象である。1994年のシューメーカー・レビー第9彗星の衝突はいくつまでもないが、2009年7月には日本を含む多くのアマチュア天文家が、衝突によって生じたと思われる痕跡が発見された(三品利郎、日本天文学会・天文月報2010年8月号)。ハッブル宇宙望遠鏡などでの追跡観測が迅速に行われ、1994年と同じような直径500m～1km程度の小天体であると推定された(A. Sanchez-Lavega et al. 2009, H.B. Hammel et al. 2010)。この衝突は裏側で起きたため、発光は観測されなかったが、2010年6月には、オーストラリアとフィリピンのアマチュア天文家二人が独立に木星面をビデオで撮影中、偶然にも約2秒間の発光を捉えた。解析の結果、この衝突発光を起こした小天体は直径が8-13m程度で、大気に痕跡を残すほど大きくなかったと考えられている(Hueso et al. 2010)。

さらに、そのわずか2ヶ月後の8月21日午前3時22分12秒に、今度は日本でなんと4人のアマチュア天文家(立川正之(熊本市)、青木和夫(東京)、市丸正幸(富山市)、若松孝宜(有田市))が、 $\lambda = 140.4 \mu\text{m}$, $\theta = +21.1^\circ$ に、独立に約2秒弱の発光を捉えた。このデータは現在、6.2等という発光強度や約2秒という継続時間(図)から見ると、6月の現象の時と、ほぼ同程度か、やや小規模な小天体の衝突であると推定される。

もともと巨大な流星発光現象は、地球では明るさや継続時間が衝突天体の大きさだけでなく、突入速度にも強く依存する。しかし、木星では、その極めて強い重力によって、衝突の方向に依らず、ほぼ同じ速度(秒速60-64km)となるため、サイズを決定する際の不定性がほとんどない。

一方、巨大惑星領域における小天体、特に1km未満のサイズ分布は、直接観測できないこともあって、不定性が大きい。大型地上望遠鏡を用いても、彗星活動をしていない限りは、せいぜい10km程度の天体までしか見えない。一方、衛星表面のクレーターカウントからの推定も可能だが、1km以下のサイズ分布での乖離は大きい。天王星の衛星と木星の衛星からの推定値は0.1kmサイズでは1桁、太陽系外縁天体からの推定に至っては2桁以上も異なる(Zahnle et al. 2003)。木星への衝突確率について、2010年に観測された二例だけを考えて、10mサイズの木星面への衝突は太陽系外縁天体および天王星の衛星のクレーターカウントにより推定されるサイズ分布の間、つまり年間0.5-10個程度となる。ただ、これらが偶然に捉えられた、つまり下限値であることを考えれば、組織的な監視観測によってさらに大きな値を得ることは十分に考えられる。いずれにしろ、これまでまったく決定手段のなかった1km以下の小天体サイズ分布についての情報が得られる有力な手段であることは確かである。逆にクレーター年代学へのフィードバックも考えられる。太陽系内部領域の惑星の表面に残るクレーターは、その大きさ分布がどれも相対的に良く一致しているが、巨大惑星の氷衛星については、まちまちであり、いろいろ複雑なプロセスが関与していることが示唆される。その辺りの理解を進歩させる意味でも、本現象の意義は大きい。

今後は、日本の熟練したアマチュア天文家の協力を得つつ、木星面あるいは土星面を継続的に監視観測するネットワークを構築し、また大型望遠鏡でさらに小規模な現象を捉え、衝突発光の頻度と規模を調査する予定である。



キーワード: 衝突, 発光, 木星, サイズ分布, クレーター
Keywords: impact, flash, Jupiter, size distribution, Crater

PPS022-16

会場:国際会議室

時間:5月27日 10:15-10:30

準惑星ハウメア衝突族の軌道進化: カイパーベルトの歴史への影響 Dynamical Evolution of Haumea Collisional Family: General Properties and Implications for the Trans-neptunian Belt

ソフィアリカフィカ パトリック^{1*}, Jonathan Horner², 中村 昭子³, 向井 正³
Ptryk Sofia Lykawka^{1*}, Jonathan Horner², Akiko M. Nakamura³, Tadashi Mukai³

¹ 近畿大学 総合社会学部 (天文学分野), ²University of New South Wales, ³ 神戸大学 理学研究科

¹Faculty of Soc. & Nat. Sci., Kinki Univ., ²University of New South Wales, ³Graduate School of Science, Kobe Univ.

Recently, the first collisional family was identified in the trans-neptunian belt, thus revealing the importance of collisions between trans-neptunian objects (TNOs). The family consists of the dwarf planet Haumea and at least nine other ~100 km-sized TNOs. Here, we modeled the long term orbital evolution of an ensemble of family fragments over 4 Gyr. First, we obtained collisional families that reproduced the currently known Haumea's family. In particular, ninety percent of the fragments survived the integrations concentrated in wide regions with the following orbital element ranges: $a \sim 6-12$ AU, $e \sim 0.1-0.15$ and $i \sim 7-10$ deg. Most of the survivors populated the so called classical and detached regions of the trans-neptunian belt, whilst a minor fraction entered the scattered disk reservoir (<1%) or was captured in Neptunian resonances (<10%). In addition, the great majority of fragments displayed negligible long term orbital variations. This implies that the orbital distribution of the intrinsic Haumea's family can constrain the orbital conditions and physics of the collision that created the family billions of years ago. Finally, ~25-40% of the original Haumea family was lost due to planetary ejections or collisions over 4 Gyr.

キーワード: エッジワース・カイパーベルト, 太陽系, ハウメア, 衝突族天体, 海王星, 太陽系外縁天体

Keywords: Edgeworth-Kuiper belt, Solar system, Haumea, Collisional family objects, Neptune, Trans-Neptunian objects (TNOs)

小惑星探査機はやぶさ帰還粒子取り扱いに用いた静電制御微小マニピュレーションについて

Electrostatic micromanipulation system applied for the returned particles of the asteroid explorer Hayabusa

藤村 彰夫¹, 安部 正真¹, 矢田 達^{2*}, 中村 智樹³, 野口 高明⁴, 岡崎 隆司⁵, 岡田 達明¹, 白井 慶², 石橋 之宏², 小川 真帆⁶
Akio Fujimura¹, Masanao Abe¹, Toru Yada^{2*}, Tomoki Nakamura³, Takaaki Noguchi⁴, Ryuji Okazaki⁵, Tatsuaki Okada¹, Kei Shirai², Yukihiro Ishibashi², Maho Ogawa⁶

¹ 宇宙航空研究開発機構宇宙科学研究所, ² 宇宙航空研究開発機構月惑星探査 PG, ³ 東北大学大学院理学研究科, ⁴ 茨城大学理学部理学科, ⁵ 九州大学大学院理学府, ⁶ 東京大学大学院理学系研究科

¹ISAS/JAXA, ²JSPEC/JAXA, ³Grad. Sch. Sci., Tohoku Univ., ⁴College Sci., Ibaraki Univ., ⁵Grad. Sch. Sci., Kyushu Univ., ⁶Grad. Sch. Sci., Univ. Tokyo

藤村他 (2011) で述べられている通り、2010年6月13日深夜にオーストラリアウーメラ砂漠立ち入り禁止区域に小惑星探査機「はやぶさ」の帰還カプセルが着陸した。回収された帰還カプセルは、2010年6月18日未明に宇宙航空研究開発機構相模原キャンパス惑星物質試料取扱設備に搬入され、以来、一連のサンプルコンテナ開封・試料回収プロセスにより、現在、サンプルキャッチャーから粒子を回収し、光学顕微鏡、電子顕微鏡による観察・分析作業、及び初期分析のための配布作業が行われている。この作業において中心的な役割を果たしているのが静電制御マイクロマニピュレーションシステムである。

この静電マイクロマニピュレーションシステムは、約1年にわたる開発の後、去る2010年1月に、惑星物質取り扱い設備の高純度窒素雰囲気にあるクリーンチェンバー第2室内に導入された。このシステムは、X, Y, Z, Z軸の微動・粗動機構と様々なタイプのテーブルを備えるサンプルステージと、X, Y, Z, Y, Z軸の微動・粗動制御を備え、正負の電圧印可可能な合成石英針を備えたプローブや除電用線源を設置可能なプローブステージ左右一対から構成される。合成石英ガラス針内のPt線と接続された電圧制御電源でチェンバー外から正負の電圧を印可した状態で、チェンバー内の粒子をチェンバー内外に設置された2種の光学顕微鏡により観察しながら、これらのステージをバイトン製グローブにより操作し、高純度窒素雰囲気下にある微粒子をピックアップ・リリースする事が可能である。

このシステムについて、想定されるはやぶさ帰還粒子の模擬物質(Niカンラン石)を用いてマニピュレーションテストを3月から5月にかけて実施して、制御技術を確認し、本番のはやぶさ帰還粒子マニピュレーションに臨んだ。

はやぶさ帰還コンテナから取り出されたサンプルキャッチャーは、Al蒸着されたジュラルミンから成る円筒で、その中が、A室、B室、回転筒の3つの空間に仕切られている。キャッチャーを回収する工程で、まずA室が開封されていたため、最初にA室内の観察・直接の粒子マニピュレーションを行った。このマニピュレーションでは光学顕微鏡で識別しやすいAl粒子が主にピックアップされ、判別しづらい鉱物粒子と思われる透明粒子のピックアップは少数に留まった。この問題を解消するために、電子顕微鏡試料室に導入可能なテフロン製へらを開発し、キャッチャーA室内面に対して掻き取り作業を行い、粒子を回収して電子顕微鏡観察・分析を行い、多数の珪酸塩鉱物的組成を示す粒子を確認し、その鉱物種の存在比率から、これらの粒子が小惑星イトカワ起源であると推定される事については既にプレスリリースで発表されたとおりである。

しかし、テフロンへら上の10 μmを下回る微小粒子のマニピュレーション技術は確立されていないため、初期分析にははやぶさ帰還粒子を供するためには、より大きな粒子をマニピュレーション出来る状態で回収する必要があった。これに対して、キャッチャーA室の蓋と同型の合成石英ガラス製板を準備し、この板を取り付けた状態でキャッチャーを上下反転し粒子を自由落下させた上で、元の向きに戻し、板を回収してその表面を光学顕微鏡で観察した。その結果、1000個以上の10 μm以上の粒子が確認された。これらについて、前述の静電マニピュレーションシステムを使い、粒子の拾い出し、電子顕微鏡観察・分析を実施した結果、およそ50個の岩石質粒子を確認し、初期分析のための配布作業を主に同マニピュレーションシステムを用いて行った。

上記の一連の静電マニピュレーターシステムを用いた粒子ハンドリング作業により、サンプルキャッチャーA室から回収された粒子に対して、これまでに多数の取り扱い機会があったが、高い成功率で粒子取り扱いを実施している。

本発表では、本システムの構成の説明と、模擬物質マニピュレーションテストの内容、はやぶさ帰還粒子マニピュレーションの内容についてレビューする。

Keywords: asteroid exploration, Hayabusa, Itokawa, curation, electrostatic control, micromanipulation

PPS022-P02

会場:コンベンションホール

時間:5月26日 14:00-16:30

はやぶさ2搭載小型ランダー MASCOT の検討 MASCOT, a small lander on Hayabusa-2

岡田 達明^{1*}, 平田 成², 出村 裕英², 久保田 孝¹, 矢野 創¹, 津田 雄一¹, トラミ・ホ³, ラース・ビッテ³, ジャン・ピエール
ビブラン⁴

Tatsuaki Okada^{1*}, Naru Hirata², Hirohide Demura², Takashi Kubota¹, Hajime Yano¹, Yu-ichi Tsuda¹, Tra-Mi Ho³, Lars Witte³,
Jean-Pierre Bibring⁴

¹ 宇宙航空研究開発機構, ² 会津大, ³ ドイツ航空宇宙センター, ⁴ フランス宇宙天体物理研究所

¹JAXA, ²University of Aizu, ³DLR, ⁴IAS

「はやぶさ2」では、「はやぶさ」では実施できなかった小型ランダーによる小惑星表面上での探査を検討している。C型小惑星 1999JU3 の表層の地形、微細な構造・組織・組成、表層の硬度や熱物性などを調査することができ、微小なC型小惑星のより詳細な素性を知ることに貢献する。小型ランダーの特徴と現状について科学目標とともに報告する。

「はやぶさ2」では、10kg級のランダーをドイツ宇宙機構 DLR が中心となり、宇宙航空研究開発機構 JAXA やフランス宇宙機構 CNES と協力のもとで科学探査用として開発を進めている。搭載観測機器は最大 3kg である。うち 1kg は多色の広角カメラ WAC、可視・近赤外のマクロ分光カメラ OicrOmega を搭載予定である。その他は今後決定されるが、レーザ誘導破壊分光 LIBS などが有力である。その他の小型センサとして、温度プローブ、磁力計などの搭載案もある。ミッション全体としての科学目標への貢献度、機器開発のフェジビリティ、リソース等を考慮して最終的に決定する。

そのほか常備装置として、温度センサ、加速度センサ、傾斜計、電位計があり、それらからも表層温度や熱慣性、撥ね返り係数、重力場方向、帯電性など主に物性情報を取得することができる。寿命は1次電源で決まり、最低16時間程度(2小惑星日)である。

小型ランダーの最重要目的は、表層における高解像度・微視的な高精度の地形や物質の観察や分析である。特にC型小惑星が対象であるため、水や有機物と無機鉱物との共存状態や相互作用の状態をその場で観察・分析することが最重要である。表面にいて直接接触するランダーゆえに可能となる表層物理状態の探査や内部構造探査も重要であるが、限られたリソース内で実現することは困難である。掘削孔の構造や地下物質(宇宙風化を受けていない試料、地下の氷や有機物など)の探査はC型小惑星の水と有機物の関連性を調べる探査として極めて重要であるが、ランダー自身の長期間の寿命や孔への誘導制御という技術課題があり、実現性の検討を進めている。

なお、小型ランダーの主要観測課題は次のように整理できる。表面での科学観測(Stand-alone surface science):地形や物質の高解像度撮像や微視的スケールでの観測、物質の組成や組織のその場分析、内部構造の探査を行う。地質学的産状把握(Geological context):帰還サンプルやサンプル回収地域付近の産状について情報を収集する。指標情報(Groundtruth):リモート観測データを解析するために必要な表層の物理状態、典型的な粒径、物質の元素・鉱物組成、物性についての情報を取得する。

キーワード: はやぶさ2, 小惑星, 表層探査, 着陸機, 顕微鏡, 元素分析

Keywords: Hayabusa2, asteroid, surface exploration, lander, microscopy, elemental analysis

PPS022-P03

会場:コンベンションホール

時間:5月26日 14:00-16:30

熱水合成 phyllosilicate 鉱物の組成変動 - 炭素質コンドライト隕石の phyllosilicate との比較 Compositional variations of hydrothermal synthesized phyllosilicates -comparison with phyllosilicates in carbonaceous ch

渡邊 公典^{1*}, 尾崎 弘子², 磯部 博志¹
Kosuke Watanabe^{1*}, Hiroko Ozaki², Hiroshi Isobe¹

¹ 熊大院・自然科学・地球環境科学, ² 熊大院 (現:三菱スペース・ソフトウェア)

¹Dept. Earth Environ. Sci., Kumamoto Univ, ²Pres. Add; Mitsubishi Space Software

炭素質コンドライト隕石には様々な phyllosilicate が存在しており、これらは、隕石母天体上での何らかの前駆物質が水質変成作用を受けることによって形成されたと考えられている。phyllosilicate 組成に影響を与える要因は、温度、酸化還元条件など様々な要素が考えられる。特に酸化還元条件は金属鉄、酸化鉄、硫化鉄間の Fe 元素の分配に強い影響を与え、結果的に phyllosilicate の Fe 含有量に影響を与える。

尾崎, 磯部 (2009) は太陽光球と同様の Si, Mg, Fe の組成を持つ olivine を出発物質とし、それと enstatite が共存する系、または fayalite が共存する系の二つの実験系について phyllosilicate の合成実験を行った。この実験では、有機物が共存する環境での実験を再現するために、エタノール溶液を溶媒として使用し、水質変成作用の過程を調べるため、それぞれの出発物質を様々な温度・反応期間の実験条件に分けた上で水質変成実験を行った。

本研究では、同様の系での追加実験の結果をもとに SEM、EDS を使用して phyllosilicate やその他の実験生成物を観察し組成の検討を行った。そして、合成した phyllosilicate と実際に炭素質コンドライトに見られる phyllosilicate との組成の比較を行い、炭素質コンドライトの phyllosilicate が形成される条件の推測を行った。

実験生成物の SEM 観察の結果、様々な形態 (繊維状、塊状、スポンジ状) および組成を示す phyllosilicate が観察された。合成された phyllosilicate の多くは Fe に乏しい組成のものだが、fayalite 実験系における反応期間が短い試料には Fe に富む phyllosilicate が含まれていた。エタノール高濃度の実験による phyllosilicate は組成が均質化する傾向があり、また、高温で形成された phyllosilicate は Fe に乏しく、Si に富む組成に均質化される傾向を示した。enstatite 実験系では、反応期間が長期化するほど、phyllosilicate は Fe に乏しい組成のものが現れた。fayalite 実験系では、反応期間が短いもので二極化した組成のものが観察され、反応期間が長期の試料には二極化組成を元にした連続した組成トレンドをもつ phyllosilicate が観察されるものが一部存在した。

実験生成物中の phyllosilicate と実際の炭素質コンドライトに見られる phyllosilicate を比較した結果、炭素質コンドライトに見られる phyllosilicate は 250 °C 以下の低温において、比較的短期間の水質変成作用によって形成されたと考えられる。

キーワード: 水質変成, 隕石母天体, 含水層状ケイ酸塩, 熱水反応実験

Keywords: Hydrous alteration, parent body, hydrous phyllosilicate, hydrothermal experiment

Methods to improve data quality when creating meteorite databases Methods to improve data quality when creating meteorite databases

Peter Ness^{1*}, Hideaki Miyamoto²

Peter Ness^{1*}, Hideaki Miyamoto²

¹Tokyo Univ. Dept. Complex. Sc. Eng., ²Tokyo Univ. Museum

¹Tokyo Univ. Dept. Complex. Sc. Eng., ²Tokyo Univ. Museum

The purpose of our research is to obtain statistics of bulk analyses for meteorite groups/subgroups to help refine a more accurate understanding of near-earth asteroids (NEA). If laboratory and other database errors are not controlled then they can have a dramatic and adverse impact on how representative meteorites are, and whether they can be used to analyze NEA. Thus, we need to understand the various types of errors and eliminate them, correct for them, or modify any conclusions.

Many meteorites are already classified, so it makes sense to use previously published analyses. A number of authors have compiled lists to help subdivide and classify meteorites into groups/ subgroups based on chemistry and petrology [1-6]. Our database includes 26,661 bulk-analyses from 1195 meteorites, sourced from 112 journal articles published between 1953 and 2010.

To try to improve the quality of the analyses we preferentially used the most recent values on the assumption that they have lower laboratory precision errors. Analyses were tagged so they can be traced back to their source. Data was checked multiple times for errors. Precision errors of sourced analyses were analyzed. Some data were replaced where possible, especially where rounding errors > precision errors.

The results were then compared to other datasets to confirm: 1) that meteorite classifications are correct, 2) whether results differ from previously published works, and 3) whether any bias exists between Antarctic and non-Antarctic meteorites.

The results show that: 1) a close match exists between our database and other authors, 2) minimizing database errors helps to reduce dispersion, and 3) the majority of differences between Antarctic and non-Antarctic meteorites may be explained by: a) an insufficient number of samples, b) distributions with high skew or kurtosis (peakedness), and c) normal variability between samples.

We discuss ways to improve database quality by considering the following: 1) laboratory precision, 2) quality of analyses, 3) data entry and conversion errors, 4) over-rounding of analyses, and 5) potential misclassification of meteorites.

We conclude that the most efficient way to improve data quality is to replace older analyses with more recent ones. However, the assumption that the most recent analyses have lower precision does not always hold. Although laboratory precision has gradually improved over time, our results suggest it is also influenced by how well individuals follow standard laboratory procedures.

[1] Urey, H.C., Craig, H. (1953). *Geochim. Cosmochim. Acta*, 4, 36-82.

[2] Wiik, H., (1955). *Geochim. Cosmochim. Acta*, 9, 279-289.

[3] Wasson, J.T., Kallemeyn, G.W., (2002). *Geochim. Cosmochim. Acta*, 66, 13, 2445-2473.

[4] Nittler, L.R., et al. (2004). *Antart. Meteorites.*, 17, 231-251.

[5] Schaefer L., and Fegley, B., Jr. (2010). *Icarus*, 205, 483-496.

[6] Jarosewich, E. (1990). *Meteoritics*, 25, 323-337.

キーワード: meteorites, chondrites, Near Earth Asteroids, NEA

Keywords: meteorites, chondrites, Near Earth Asteroids, NEA